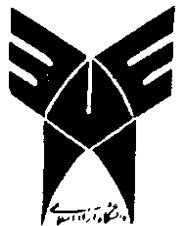


بِسْمِ اللَّهِ الرَّحْمَنِ الرَّحِيمِ



دانشگاه آزاد اسلامی
واحد شهرود

دانشکده علوم پایه ، گروه شیمی
پایان نامه برای دریافت درجه کارشناسی ارشد « M.Sc »
گرایش شیمی فیزیک

عنوان :

تعیین ساختار های گذار فرآیندهای توتموری ۶-هیدروکسی ۵-فلوئوروستیتوزین با استفاده از محاسبات
کوانتمومی

استاد راهنما :
دکتر بهزاد چهکندی

استاد مشاور :
دکتر مجید محمد حسینی

نگارش :
علی محبوبی فر

تابستان ۱۳۹۱

سپاسگزاری

از استاد راهنمای گرامی و بزرگوارم **جناب آقای دکتر بهزاد چهکندي** سپاسگزارم که تعلیم بیاموخت و مرا عمری رهین منت خویش ساخت. از این رو خالصانه و بالاترین مراتب امتنان و سپاس خویش را به محضرشان تقدیم می دارم.

تقدیم به

پرم خورشید منظومه من،
مادرم دریای محبت، زندگی و از خود گذشتگی
و
همه آنهایی که به من علم و درست زندگی کردن آموختند.

فهرست مطالب

| عنوان | صفحه |
|--|------|
| چکیده | ۱ |
| فصل اول : اسید نوکلئیک | |
| ۱-۱- اهمیت زیست پزشکی | ۱ |
| ۱-۲- اسید نوکلئیک | ۲ |
| ۱-۲-۱- ساختمان شیمیائی و نقش اسیدهای نوکلئیک | ۴ |
| ۱-۳- ترکیبات حلقی پنج ضلعی | ۴ |
| ۱-۴- ترکیبات حلقی شش ضلعی | ۵ |
| ۱-۵- بازهای پیریمیدین | ۵ |
| ۱-۶- بازهای پورین | ۶ |
| ۱-۷- نوکلئوزید و نوکلئوتید | ۷ |
| ۱-۸- نوکلئوزیدها | ۸ |
| ۱-۸-۱- خواص نوکلئوزیدها | ۸ |
| ۱-۸-۲- نوکلئوزیدهای دی و تری فسفات | ۸ |
| ۱-۹- نوکلئوتیدها | ۹ |
| ۱-۹-۱- خواص نوکلئوتیدها | ۹ |
| ۱-۹-۲- عمل پلی نوکلئوتیدها | ۱۰ |
| ۱-۹-۳- سایر نوکلئوتیدها | ۱۰ |
| ۱-۹-۴- نوکلئوتیدهای کوآنزیمی | ۱۱ |

| | |
|----|---|
| ۱۱ | ۹-۵- پلی نوکلئوتیدها |
| ۱۱ | ۱۰-۱- صورت بندی |
| ۱۲ | ۱۱-۱- اسید داکسی ریبونوکلئیک DNA |
| ۱۳ | ۱۱-۱-۱- ساختمان اول DNA |
| ۱۳ | ۱۱-۱-۲- ساختمان دوم DNA (مارپیچ دوتائی) |
| ۱۶ | ۱۱-۱-۳- همانند سازی DNA |
| ۱۷ | ۱۱-۱-۴- خواص فیزیکی DNA |
| ۱۸ | ۱۱-۱-۵- هیبریدها (دورگه ها) |
| ۲۰ | ۱۱-۱-۶- نقش زیستی DNA |
| ۲۰ | ۱۲-۱- اسید ریبونوکلئیک RNA |
| ۲۱ | ۱۲-۱-۱- ساختمان RNA |
| ۲۲ | ۱۲-۱-۲- آدنین |
| ۲۳ | ۱۲-۱-۳- گوانین ۱۲-۱-۴- باز تیمین |
| ۲۵ | ۱۲-۱-۴- باز تیمین |
| ۲۵ | ۱۲-۱-۵- انواع RNA و نقش آنها |
| ۲۵ | ۱۲-۱-۶- RNA های ریبوزومی |
| ۲۶ | ۱۲-۱-۷- RNA حاصل (tRNA) |
| ۲۷ | ۱۲-۱-۸- RNA پیک (mRNA) |
| ۲۸ | ۱۲-۱-۹- RNA های ریز ملکول و باثبات |
| ۲۸ | ۱۳-۱- ذرات ریز نوکلئوپروتئینی داخل هسته ای |
| ۲۸ | ۱۴-۱- ماهیت شیمیایی DNA، با ماهیت شیمیایی RNA مقاوم است |
| ۳۰ | ۱۵-۱- واحدهای تکراری ساختار دوم |
| ۳۱ | ۱۵-۱-۱- مارپیچ دو رشته ای |
| ۳۱ | ۱۵-۱-۲- حلقه‌ی سنjac سری |
| ۳۱ | ۱۵-۱-۳- حلقه‌ی داخلی |
| ۳۱ | ۱۵-۱-۴- حلقه‌ی برآمده |

| | |
|----|---|
| ۳۲ | ۱۵-۱- حلقهی چند شاخه |
| ۳۲ | ۱۵-۶- شبکه گره |
| ۳۳ | ۱۶-۱- سایر ساختارها |
| ۳۳ | ۱۷-۱- جهش (Mutation) |
| | فصل دوم: مطالعات تئوری و تجربی |
| ۳۵ | ۲-۱- مقدمه |
| | فصل سوم: روش‌های محاسبات کوانتومی |
| ۴۳ | ۳-۱- مقدمه |
| ۴۳ | ۳-۲- روش‌های مدلسازی کامپیوترا |
| ۴۵ | ۳-۳- روش مکانیک- مولکولی (MM) |
| ۴۶ | ۳-۳-۱- چگونگی انجام یک محاسبه MM |
| ۴۷ | ۳-۴- مکانیک کوانتومی |
| ۴۸ | ۳-۵- تقریب بورن- اینهایمر |
| ۴۹ | ۳-۶- روش‌های نیمه تجربی |
| ۵۰ | ۳-۶-۱- روش‌های نیمه تجربی برای مولکولهای مزدوج |
| ۵۱ | ۳-۶-۲- روش‌های نیمه تجربی عمومی |
| ۵۱ | ۲-۶-۱-۱- روش AM_1 |
| ۵۲ | ۲-۶-۳- روش‌های اوربیتال مولکولی نیمه تجربی پیشرفته MNDO |
| ۵۳ | ۷-۳- روش آغازین |
| ۵۳ | ۱-۷-۳- تابع موج scf و هارتی- فاک |
| ۵۴ | ۲-۷-۳- روش‌های post-HF |
| ۵۴ | ۲-۷-۱- روش‌های برهم کنش پیکر بندی (CI) |
| ۵۶ | ۲-۷-۲- روش SCF چند پیکر بندی (MC-SCF) |
| ۵۷ | ۲-۷-۳- نظریه اختلال moller-plesset |
| ۵۷ | ۴-۲-۷-۳- روش CC^1 |

| | |
|----|---|
| ۵۸ | ۳-۷-۳- مفهوم همبستگی الکترونی |
| ۵۹ | ۳-۸-۳- نظریه تابعی - دانسیته (DFT) |
| ۵۹ | ۳-۸-۱- قضیه Hohenbery -kohn |
| ۵۹ | ۳-۸-۲- روش kohn-sham |
| ۶۱ | ۳-۸-۳- تابع انرژی تبادلی - همبستگی E_{xc} |
| ۶۳ | ۳-۸-۴- قابلیت DFT |
| ۶۴ | ۳-۹-۳- مجموعه پایه |
| ۶۶ | ۳-۹-۱- اوربیتال اسلیتری (STO) |
| ۶۶ | ۳-۹-۲- مجموعه های پایه گوسی |
| ۶۷ | ۳-۹-۱-۱- اوربیتال گوشی منطبق (CGTO) |
| ۶۸ | ۳-۹-۳- مجموعه های پایه مینیمال |
| ۶۸ | ۳-۹-۴- مجموعه های پایه ظرفیتی مجزا |
| ۶۸ | ۳-۹-۵- مجموعه های پایه قطبیده |
| ۶۹ | ۳-۹-۶- توابع پخش شده |
| ۶۹ | ۳-۱۰-۱- ترموشیمی در گوسین |
| ۶۹ | ۳-۱۰-۱-۱- انرژی الکترونی |
| ۷۰ | ۳-۱۰-۲- انرژی ارتعاشی |
| ۷۰ | ۳-۱۰-۳- تصحیح انرژی کل |
| ۷۰ | ۳-۱۰-۴- تصحیح گرمایی انرژی داخلی |
| ۷۱ | ۳-۱۰-۵- آنتالپی، انرژی و انرژی گیبس |
| ۷۱ | ۳-۱۱-۱- برنامه گوسین |

فصل چهارم : نتایج محاسبات

| | |
|----|-------------------------------------|
| ۷۳ | ۴-۱- مقدمه |
| ۷۴ | ۴-۲- محاسبات |
| ۸۴ | ۴-۳- مقایسه ترتیب پایداری توتومر ها |

| | |
|--|-----|
| ۴-۳-۱- پایداری نسبی توتومر ها نسبت به پایدار ترین توتومر (8H5F(8)) | ۸۴ |
| ۴-۳-۲- پایداری توتومر (8H5F(8)) | ۸۷ |
| ۴-۳-۳- پایداری توتومر (6H5F(4)) | ۸۷ |
| ۴-۴- بررسی تعادلات توتومری 6H5F | ۸۸ |
| ۴-۵- تقسیم بندی تعادلات بر حسب نوع انتقالات آنها در اطراف حلقه | ۹۰ |
| ۴-۶- فرآیند توتومری شدن در فاز گاز | ۹۱ |
| ۴-۶-۱- مدل ساختاری CO در فاز گاز | ۹۱ |
| ۴-۶-۲- مدل ساختاری NN در فاز گاز | ۹۳ |
| ۴-۶-۳- مدل ساختاری NO در فاز گاز | ۹۵ |
| ۴-۶-۴- مدل ساختاری CN در فاز گاز | ۹۹ |
| ۴-۶-۵- نمودار های IRC برای تعادلات بدون مولکول آب | ۱۰۰ |
| ۴-۶-۶- نتیجه کلی در فاز گاز بدون مولکول آب | ۱۰۱ |
| ۴-۷- محاسبات در فاز گاز با استفاده از مدل آبپوشی | ۱۰۲ |
| ۴-۸- محاسبات در فاز گاز با حضور یک مولکول آب | ۱۰۲ |
| ۴-۸-۱- مدل ساختاری CO در فاز گاز | ۱۰۲ |
| ۴-۸-۲- مدل ساختاری NN در فاز گاز | ۱۰۴ |
| ۴-۸-۳- مدل ساختاری NO در فاز گاز | ۱۰۶ |
| ۴-۸-۴- مدل ساختاری CN در فاز گاز | ۱۱۰ |
| ۴-۸-۵- نمودار های IRC برای تعادلات با یک مولکول آب | ۱۱۱ |
| ۴-۸-۶- نتیجه کلی در فاز گاز با یک مولکول آب | ۱۱۲ |
| ۴-۹- محاسبات در فاز گاز با حضور دو مولکول آب | ۱۱۳ |
| ۴-۹-۱- مدل ساختاری CO در فاز گاز | ۱۱۳ |
| ۴-۹-۲- مدل ساختاری NN در فاز گاز | ۱۱۵ |
| ۴-۹-۳- مدل ساختاری NO در فاز گاز | ۱۱۷ |
| ۴-۹-۴- مدل ساختاری CN در فاز گاز | ۱۲۱ |
| ۴-۹-۵- نمودار های IRC برای تعادلات با دو مولکول آب | ۱۲۲ |

| | |
|---|-----|
| ۶-۹-۴- نتیجه کلی در فاز گاز با دو مولکول آب..... | ۱۲۳ |
| ۴-۱۰- محاسبات در فاز گاز با حضور سه مولکول آب..... | ۱۲۴ |
| ۴-۱۰-۱- مدل ساختاری CO در فاز گاز..... | ۱۲۴ |
| ۴-۱۰-۲- مدل ساختاری NN در فاز گاز..... | ۱۲۶ |
| ۴-۱۰-۳- مدل ساختاری NO در فاز گاز..... | ۱۲۸ |
| ۴-۱۰-۴- مدل ساختاری CN در فاز گاز..... | ۱۳۲ |
| ۴-۱۰-۵- نمودار های IRC برای تعادلات با سه مولکول آب..... | ۱۳۳ |
| ۴-۱۰-۶- نتیجه کلی در فاز گاز با سه مولکول آب..... | ۱۳۴ |
| ۴-۱۱- مقایسه طول پیوند ها و زوایا در فاز گاز بدون حضور مولکول های آب..... | ۱۳۵ |
| ۴-۱۲- نمایش کلی کمترین سد انرژی برای تعادلات به صورت نمودار..... | ۱۴۶ |
| ۴-۱۳-۱- محاسبات در فاز حلال (آب)..... | ۱۵۱ |
| ۴-۱۳-۲- مقایسه ترتیب پایداری توتمور ها در فاز حلال..... | ۱۵۲ |
| ۴-۱۳-۳- پایداری نسبی توتمور ها نسبت به پایدار ترین توتمور (6H5F)..... | ۱۵۲ |
| ۴-۱۴-۱- تقسیم بندی تعادلات بر حسب نوع انتقالات آنها در اطراف مولکول..... | ۱۵۴ |
| ۴-۱۴-۲- مدل ساختاری CO بدون حضور آب در فاز حلال..... | ۱۵۵ |
| ۴-۱۴-۳- مدل ساختاری NN بدون حضور آب در فاز حلال..... | ۱۵۵ |
| ۴-۱۴-۴- مدل ساختاری NO بدون حضور آب در فاز حلال..... | ۱۵۶ |
| ۴-۱۴-۵- نمودار IRC برای پایدار ترین تعادل بدون مولکول آب در فاز حلال..... | ۱۵۷ |
| ۴-۱۵-۶- نتیجه کلی بدون مولکول آب در فاز حلال..... | ۱۵۷ |
| ۴-۱۶- محاسبات در فاز حلال با استفاده از مدل آپوشی..... | ۱۵۹ |
| ۴-۱۷-۴- محاسبات در فاز حلال با حضور یک مولکول آب..... | ۱۵۹ |
| ۴-۱۷-۱- مدل ساختاری CO با یک مولکول آب در فاز حلال..... | ۱۵۹ |
| ۴-۱۷-۲- مدل ساختاری NN با یک مولکول آب در فاز حلال..... | ۱۵۹ |
| ۴-۱۷-۳- مدل ساختاری NO با یک مولکول آب در فاز حلال..... | ۱۶۰ |
| ۴-۱۷-۴- مدل ساختاری CN با یک مولکول آب در فاز حلال..... | ۱۶۱ |

| | |
|--|-----|
| ۱۷-۴-۵- نمودار IRC برای پایدار ترین تعادل با یک مولکول آب در فاز حلال..... | ۱۶۱ |
| ۱۷-۴-۶- نتیجه کلی با یک مولکول آب در فاز حلال..... | ۱۶۲ |
| ۱۸-۴- محاسبات با حضور دو مولکول آب در فاز حلال..... | ۱۶۲ |
| ۱۸-۴-۱- مدل ساختاری CO با دو مولکول آب در فاز حلال..... | ۱۶۳ |
| ۱۸-۴-۲- مدل ساختاری NN با دو مولکول آب در فاز حلال..... | ۱۶۳ |
| ۱۸-۴-۳- مدل ساختاری NO با دو مولکول آب در فاز حلال..... | ۱۶۴ |
| ۱۸-۴-۴- مدل ساختاری CN با دو مولکول آب در فاز حلال..... | ۱۶۴ |
| ۱۸-۴-۵- نمودار IRC برای پایدار ترین تعادل با دو مولکول آب در فاز حلال..... | ۱۶۵ |
| ۱۸-۴-۶- نتیجه کلی با دو مولکول آب در فاز حلال..... | ۱۶۵ |
| ۱۹-۴- نمایش پایدرای تعادلات به صورت نمودار در فاز حلال..... | ۱۶۷ |

نتیجه گیری

| | |
|----------------------------|-----|
| بحث و نتیجه گیری..... | ۱۷۳ |
| پیشنهادات..... | ۱۷۴ |
| فهرست منابع فارسی..... | ۱۷۵ |
| فهرست منابع غیر فارسی..... | ۱۷۶ |
| چکیده انگلیسی..... | ۱۸۰ |

فهرست شکل ها

| عنوان | | صفحه |
|---|----|------|
| شکل (۱-۱) پیریمیدین..... | ۵ | |
| شکل (۲-۱) پورین..... | ۶ | |
| شکل (۱-۳) یک جفت باز A-T که به دلیل تشکیل دو پیوند هیدروژنی بین مولکولی ایجاد شده است | ۱۴ | |
| شکل (۴-۱) آدنین..... | ۲۲ | |
| شکل (۱-۵) باز گوانین..... | ۲۳ | |
| شکل (۶-۱) تیمین..... | ۲۴ | |
| شکل (۷-۱) ساختار دوم یک مولکول آر ان ای..... | ۳۰ | |

شکل (۸-۱) نمونه‌ای از یک ساختار حلقه‌ی سنjac سری موجود در ساختار دوم مولکول آران‌ای
۳۱

شکل (۹-۱) نمونه‌ای از یک ساختار شبه گره موجود در ساختار دوم مولکول آران‌ای تلومراز.. ۳۲

شکل (۱-۲) ساختار مولکول سیتوزین ۳۸

شکل (۲-۲) ساختار ۵-فلوسيتوزين ۳۹

شکل (۴-۱) توتمر ۶-هیدروکسی ۵-فلوئوروسیتوزین ۷۱

شکل (۲-۴) ساختار ۱۴ تومر ۶-هیدروکسی ۵-فلوئوروسیتوزین ۸۱

شکل (۳-۴) تعادلات توومری شدن مولکول ۶-هیدروکسی ۵-فلوئوروسیتوزین ۸۲

شکل (۴-۴) آنیون کربوکسیلات ۹۹

شکل (۵-۴) تعادلات بهینه شده و حالت گذار $6\text{H}5\text{F}$ برای مدل CO در فاز گاز بدون حضور
مولکول آب در سطح ۱۰۶

شکل (۶-۴) تعادلات بهینه شده و حالت گذار $6\text{H}5\text{F}$ برای مدل NN در فاز گاز بدون حضور
آب در سطح ۱۰۸

شکل (۷-۴) تعادلات بهینه شده و حالت گذار $6\text{H}5\text{F}$ برای مدل NO در فاز گاز بدون حضور
آب در سطح ۱۱۲

شکل (۸-۴) تعادل بهینه شده و حالت گذار $6\text{H}5\text{F}$ برای مدل CN در فاز گاز بدون حضور آب در
سطح ۱۱۳

شکل (۹-۴) تعادلات بهینه شده و حالت گذار $6\text{H}5\text{F}$ برای مدل CO در فاز گاز در حضور یک آب
در سطح ۱۱۸

| | | | |
|---|--------|-----|-----|
| شکل (۱۰-۴) تعادلات بهینه شده و حالت گذار 6H5F برای مدل NN در فاز گاز در حضور یک آب .B3LYP/6-311++G(d,p) | در سطح | آب | ۱۲۰ |
| شکل (۱۱-۴) تعادلات بهینه شده و حالت گذار 6H5F برای مدل NO در فاز گاز در حضور دو آب .B3LYP/6-311++G(d,p) | در سطح | درو | ۱۲۳ |
| شکل (۱۲-۴) تعادل بهینه شده و حالت گذار 6H5F برای مدل CN در فاز گاز در حضور یک آب .B3LYP/6-311++G(d,p) | در سطح | در | ۱۲۴ |
| شکل (۱۳-۴) تعادلات بهینه شده و حالت گذار 6H5F برای مدل CO در فاز گاز در حضور دو آب .B3LYP/6-311++G(d,p) | در سطح | در | ۱۲۸ |
| شکل (۱۴-۴) تعادلات بهینه شده و حالت گذار 6H5F برای مدل NN در فاز گاز در حضور دو آب .B3LYP/6-311++G(d,p) | در سطح | در | ۱۳۰ |
| شکل (۱۵-۴) تعادلات بهینه شده و حالت گذار 6H5F برای مدل NO در فاز گاز در حضور دو آب B3LYP/6-311++G(d,p) | در سطح | در | ۱۳۴ |
| شکل (۱۶-۴) تعادل بهینه شده و حالت گذار 6H5F برای مدل CN در فاز گاز در حضور دو آب .B3LYP/6-311++G(d,p) | در سطح | در | ۱۳۵ |
| شکل (۱۷-۴) تعادلات بهینه شده و حالت گذار 6H5F برای مدل CO در فاز گاز در حضور سه آب .B3LYP/6-311++G(d,p) | در سطح | آب | ۱۳۹ |

شکل (۱۸-۴) تعادلات بهینه شده و حالت گذار ۶H5F برای مدل NN در فاز گاز در حضور سه آب.
B3LYP/6-311++G(d,p) سطح در آب ۱۴۱

شکل (۱۹-۴) تعادلات بهینه شده و حالت گذار ۶H5F برای مدل NO در فاز گاز در حضور سه آب.
B3LYP/6-311++G(d,p) سطح در آب ۱۴۵

شکل (۲۰-۴) تعادل بهینه شده و حالت گذار ۶H5F برای مدل CN در فاز گاز در حضور سه آب
B3LYP/6311++G(d,p) سطح در آب ۱۴۶

فهرست جدول ها

| صفحه | عنوان |
|---|---|
| جدول (۱-۴) توابع ترمودینامیکی توتومرهای ۶-هیدروکسی ۵-فلوئوروسیتوزین در سطح B3LYP و سری 6-311++G(d,p) پایه | جداول (۱-۴) |
| جدول (۲-۴) مقادیر پایداری نسبی هر یک از توتومرهای ۶-هیدروکسی ۵-فلوئوروسیتوزین نسبت به ۶H5F(8) پایدارترین توتomer در سطح B3LYP و سری پایه 6-311++G(d,p) | جداول (۲-۴) |
| جدول (۳-۴) مقادیر طول پیوند های مربوط به حضور نیروهای جانبی درون مولکولی در ساختارهای اولیه و محصول در فاز گاز برای توتومرهای ۶-هیدروکسی ۵-فلوئوروسیتوزین | جداول (۳-۴) |
| ادامه جدول (۳-۴) | ۱۰۱ |
| جدول (۴-۴) مقادیر طول پیوند های مربوط به حضور نیروهای جانبی درون مولکولی در ساختارهای گذار در فاز گاز برای توتومرهای ۶-هیدروکسی ۵-فلوئوروسیتوزین | جداول (۴-۴) |
| ادامه جدول (۴-۴) | ۱۰۲ |
| ادامه جدول (۴-۴) | ۱۰۳ |
| ادامه جدول (۴-۴) | ۱۰۴ |
| ادامه جدول (۴-۴) | ۱۰۵ |
| جدول (۴-۵) تقسیم بندی تعادلات بر اساس مدل های ساختاری | ۱۱۸ |
| جدول (۴-۶) مقادیر توابع سینتیکی و ترمودینامیکی تعادلات توتomer 6H5F مدل ساختاری CO در فاز گاز | بدون حضور آب در سطح KCal / Mol بر حسب B3LYP/6-311++G(d,p) |
| جدول (۴-۷) مقادیر توابع سینتیکی و ترمودینامیکی تعادلات توتomer 6H5F مدل ساختاری NN در فاز گاز | بدون حضور آب در سطح KCal / Mol بر حسب B3LYP/6-311++G(d,p) |
| جدول (۴-۸) مقادیر توابع سینتیکی و ترمودینامیکی تعادلات توتomer 6H5F مدل ساختاری NO در فاز گاز | بدون حضور آب در سطح KCal / Mol بر حسب B3LYP/6-311++G(d,p) |

| | |
|--|-----|
| بدون حضور آب در سطح (KCal / Mol بر حسب B3LYP/6-311++G(d,p)) | ۱۲۷ |
| جدول (۹-۴) مقادیر توابع سینتیکی و ترمودینامیکی تعادل توتومر 6H5F مدل ساختاری CN در فاز گاز بدون | |
| حضور آب در سطح (KCal / Mol بر حسب B3LYP/6-311++G(d,p)) | ۱۲۸ |
| جدول (۱۰-۴) مقادیر توابع سینتیکی و ترمودینامیکی تعادلات توتومر 6H5F مدل ساختاری CO در فاز گاز در حضور یک آب در سطح (KCal / Mol بر حسب B3LYP/6-311++G(d,p)) | ۱۴۳ |
| جدول (۱۱-۴) مقادیر توابع سینتیکی و ترمودینامیکی تعادلات توتومر 6H5F مدل ساختاری NN در فاز گاز در حضور یک آب در سطح (KCal / Mol بر حسب B3LYP/6-311++G(d,p)) | ۱۴۵ |
| جدول (۱۲-۴) مقادیر توابع سینتیکی و ترمودینامیکی تعادلات توتومر 6H5F مدل ساختاری NO در فاز گاز در حضور یک آب در سطح (KCal / Mol بر حسب B3LYP/6-311++G(d,p)) | ۱۴۹ |
| جدول (۱۳-۴) مقادیر توابع سینتیکی و ترمودینامیکی تعادل توتومر 6H5F مدل ساختاری CN در فاز گاز در | |
| حضور یک آب در سطح (KCal / Mol بر حسب B3LYP/6-311++G(d,p)) | ۱۵۰ |
| جدول (۱۴-۴) مقادیر توابع سینتیکی و ترمودینامیکی تعادلات توتومر 6H5F مدل ساختاری CO در فاز گاز در حضور دو آب در سطح (KCal / Mol بر حسب B3LYP/6-311++G(d,p)) | ۱۶۴ |
| جدول (۱۵-۴) مقادیر توابع سینتیکی و ترمودینامیکی تعادلات توتومر 6H5F مدل ساختاری NN در فاز گاز در | |
| حضور دو آب در سطح (KCal / Mol بر حسب B3LYP/6-311++G(d,p)) | ۱۶۶ |
| جدول (۱۶-۴) مقادیر توابع سینتیکی و ترمودینامیکی تعادلات توتومر 6H5F مدل ساختاری NO در فاز گاز در | |
| حضور دو آب در سطح (KCal / Mol بر حسب B3LYP/6-311++G(d,p)) | ۱۷۰ |

جدول (۱۷-۴) مقادیر توابع سینتیکی و ترمودینامیکی تعادل توتومر 6H5F مدل ساختاری CN در فاز گاز در

حضور دو آب در سطح B3LYP/6-311++G(d,p) بر حسب KCal / Mol ۱۷۱

جدول (۱۸-۴) مقادیر توابع سینتیکی و ترمودینامیکی تعادلات توتومر 6H5F مدل ساختاری CO در فاز گاز

در حضور سه آب در سطح B3LYP/6-311++G(d,p) بر حسب KCal / Mol ۱۸۵

جدول (۱۹-۴) مقادیر توابع سینتیکی و ترمودینامیکی تعادلات توتومر 6H5F مدل ساختاری NN در فاز گاز در حضور سه آب در سطح B3LYP/6-311++G(d,p) بر حسب KCal / Mol ۱۸۷

جدول (۲۰-۴) مقادیر توابع سینتیکی و ترمودینامیکی تعادلات توتومر 6H5F مدل ساختاری NO در فاز گاز در حضور سه آب در سطح B3LYP/6-311++G(d,p) بر حسب KCal / Mol ۱۹۱

جدول (۲۱-۴) مقادیر توابع سینتیکی و ترمودینامیکی تعادل توتومر 6H5F مدل ساختاری CN در فاز گاز در حضور سه آب در سطح B3LYP/6-311++G(d,p) بر حسب KCal / Mol ۱۹۲

جدول (۲۲-۴). توابع ترمودینامیکی توتومرهای ۶-هیدروکسی-۵-فلوئورو-سیتوزین در سطح B3LYP و سری پایه 6-311++G(d,p) و فاز حلال بر حسب هاتری ۱۵۴

جدول (۲۳-۴). مقادیر پایداری نسبی هر یک از توتومرهای ۶-هیدروکسی-۵-فلوئورو-سیتوزین نسبت به 6H5F(6) پایدارترین توتومر در سطح B3LYP و سری پایه 6-311++G(d,p) در فاز حلال ۱۵۶

جدول (۲۴-۴). مقادیر توابع سینتیکی و ترمودینامیکی تعادلات توتومر 6H5F مدل ساختاری CO در فاز حلال بدون حضور آب در سطح B3LYP/6-311++G(d,p) بر حسب KCal / Mol ۱۵۸

جدول (۲۵-۴). مقادیر توابع سینتیکی و ترمودینامیکی تعادلات توتومر 6H5F مدل ساختاری NN در فاز حلال بدون حضور آب در سطح B3LYP/6-311++G(d,p) بر حسب KCal / Mol ۱۵۸

| | |
|--|-----|
| جدول (٤-٢٦). مقادیر توابع سینتیکی و ترمودینامیکی تعادلات توتومر $6\text{H}5\text{F}$ مدل ساختاری NO در فاز حلال بدون حضور آب در سطح (B3LYP/6-311++G(d,p) برحسب / KCal / Mol | ۱۵۹ |
| جدول (٤-٢٧). مقادیر توابع سینتیکی و ترمودینامیکی تعادل توتومر $6\text{H}5\text{F}$ مدل ساختاری CN در فاز حلال بدون حضور آب در سطح (B3LYP/6-311++G(d,p) برحسب / KCal / Mol | ۱۶۰ |
| جدول (٤-٢٨). مقادیر توابع سینتیکی و ترمودینامیکی تعادلات توتومر $6\text{H}5\text{F}$ مدل ساختاری CO در فاز حلال در حضور یک آب در سطح (B3LYP/6-311++G(d,p) برحسب / KCal / Mol | ۱۶۲ |
| جدول (٤-٢٩). مقادیر توابع سینتیکی و ترمودینامیکی تعادلات توتومر $6\text{H}5\text{F}$ مدل ساختاری NN در فاز حلال در حضور یک آب در سطح (B3LYP/6-311++G(d,p) برحسب / KCal / Mol | ۱۶۳ |
| جدول (٤-٣٠). مقادیر توابع سینتیکی و ترمودینامیکی تعادلات توتومر $6\text{H}5\text{F}$ مدل ساختاری NO در فاز حلال در حضور یک آب در سطح (B3LYP/6-311++G(d,p) برحسب / KCal / Mol | ۱۶۳ |
| جدول (٤-٣١). مقادیر توابع سینتیکی و ترمودینامیکی تعادل توتومر $6\text{H}5\text{F}$ مدل ساختاری CN در فاز حلال در حضور یک آب در سطح (B3LYP/6-311++G(d,p) برحسب / KCal / Mol | ۱۶۴ |
| جدول (٤-٣٢). مقادیر توابع سینتیکی و ترمودینامیکی تعادلات توتومر $6\text{H}5\text{F}$ مدل ساختاری CO در فاز حلال در حضور دو آب در سطح (B3LYP/6-311++G(d,p) برحسب / KCal / Mol | ۱۶۶ |
| جدول (٤-٣٣). مقادیر توابع سینتیکی و ترمودینامیکی تعادلات توتومر $6\text{H}5\text{F}$ مدل ساختاری NN در فاز حلال در حضور دو آب در سطح (B3LYP/6-311++G(d,p) برحسب / KCal / Mol | ۱۶۶ |
| جدول (٤-٣٤). مقادیر توابع سینتیکی و ترمودینامیکی تعادل توتومر $6\text{H}5\text{F}$ مدل ساختاری NO در فاز حلال در حضور دو آب در سطح (B3LYP/6-311++G(d,p) برحسب / KCal / Mol | ۱۶۷ |

| | |
|---|-----|
| جدول (٤-٣٥). مقادیر توابع سینتیکی و ترمودینامیکی تعادل توتومر 6H5F مدل ساختاری CN در فاز حلال در حضور دو آب در سطح B3LYP/6-311++G(d,p) برحسب KCal / Mol | ۱۶۸ |
| جدول (٤-٣٣). مقادیر توابع سینتیکی و ترمودینامیکی تعادلات توتومر 6H5F مدل ساختاری NN در فاز حلال در حضور دو آب در سطح B3LYP/6-311++G(d,p) برحسب KCal / Mol | ۱۶۶ |
| جدول (٤-٣٣). مقادیر توابع سینتیکی و ترمودینامیکی تعادلات توتومر 6H5F مدل ساختاری NN در فاز حلال در حضور دو آب در سطح B3LYP/6-311++G(d,p) برحسب KCal / Mol | ۱۶۶ |

فهرست نمودار ها

| عنوان | صفحه |
|--|------|
| نمودار (۱-۴) ترتیب پایداری توتومرهای 6H5F در فاز گاز بدون حضور آب..... | ۸۶ |
| نمودار (۲-۴). نمودار IRC برای تعادلات 6H5F بدون حضور آب..... | ۱۱۴ |
| نمودار (۳-۴). نمودار IRC برای تعادلات 6H5F در حضور یک مولکول آب..... | ۱۲۵ |
| نمودار (۴-۴). نمودار IRC برای تعادلات 6H5F در حضور دو مولکول آب..... | ۱۳۵ |
| نمودار (۴-۵) نمودار IRC برای تعادلات 6H5F در حضور سه مولکول آب..... | ۱۴۷ |
| نمودار (۴-۶). روند پایداری تعادلات رفت که با دو مولکول آب کمترین سد انرژی را دارند.... | ۱۵۰ |
| نمودار (۴-۷). روند پایداری تعادلات مسیر رفت که با سه مولکول آب کمترین سد انرژی را دارند | ۱۵۱ |
| نمودار (۴-۸). روند پایداری تعادلات مسیر برگشت که با دو مولکول آب کمترین سد انرژی را دارند | ۱۵۲ |
| نمودار (۹-۴). روند پایداری تعادلات مسیر برگشت که با سه مولکول آب کمترین سد انرژی را دارند | ۱۵۳ |
| نمودار (۱۰-۴). ترتیب پایداری توتومرهای 6H5F در فاز حلال بدون حضور آب | ۱۵۷ |
| نمودار (۱۱-۴). نمودار IRC برای پایدار ترین تعادل بدون حضور آب..... | ۱۶۰ |
| نمودار (۱۲-۴). نمودار IRC برای پایدار ترین تعادل در حضور یک مولکول آب در فاز حلال. | ۱۶۴ |
| نمودار (۱۳-۴). نمودار IRC برای پایدار ترین تعادل در حضور دو مولکول آب در فاز حلال. | ۱۶۸ |
| نمودار (۱۴-۴). روند پایداری تعادلات رفت که با دو مولکول آب کمترین سد انرژی را دارند.. | ۱۷۱ |
| نمودار (۱۵-۴). روند پایداری تعادلات مسیر رفت که با یک مولکول آب کمترین سد انرژی را دارند.. | ۱۷۲ |
| نمودار (۱۶-۴). روند پایداری تعادلات مسیر برگشت که با دو مولکول آب کمترین سد انرژی را دارند. | ۱۷۳ |
| نمودار (۱۷-۴). روند پایداری تعادلات مسیر برگشت که با یک مولکول آب کمترین سد انرژی را دارند... | ۱۷۴ |

چکیده

در این تحقیق مقادیر ترمودینامیکی و سینتیکی مربوط به حالت های گذار واکنش های توتومر ۶-هیدروکسی ۵-فلوئوروسیتوزین در دو بخش فاز گاز و حلال بدون مولکول آب، و در حضور یک تا سه مولکول آب با استفاده از محاسبات مکانیک کوانتموی در سطح B3LYP و سری پایه 6-311++G(d,p) تعیین گردید. ساختار های گذار با استفاده از روش های QST2 و QST3 بدست آمدند. سپس صحت ساختار های حالت گذار بدست آمده با استفاده از محاسبات فرکانسی و IRC مورد تایید قرار گرفت. در بین ۱۴ توتومر ساختار ۶-هیدروکسی ۵-فلوئوروسیتوزین، توتومر 6H5F(8) پایدارترین و 6H5F(4) ناپایدارترین توتومرها هستند.

نتایج محاسبات نشان می دهد که برای بیشتر تعادلات از ۲۱ تعادل محتمل در فاز گاز با افزایش یک تا دو مولکول آب مقادیر انرژی ها بطور چشمگیری کاهش یافته اند اما با افزایش سومین مولکول این روند کاهشی در مقادیر انرژی، دیگر مشاهده نمی شود.

کلید واژه : توتومری ، حالت گذار ، مقادیر ترمودینامیکی و سینتیکی ، پایداری